



Rouen. le 11 iuin 2025

Journée PHRESQUES-2

Le suivi haute-fréquence de la qualité de l'eau de la Seine, de Paris à la mer

Capteurs Optiques de Nitrates et Capteur de Productivité Primaire Par Fluorescence **Variable**

Pascal CLAQUIN, Maël DELOOR, Léo CHASSELIN, Léon SERRE FREDJ, Kmar ATTIA





Portage & coordination



Labélisation





Consortium scientifique















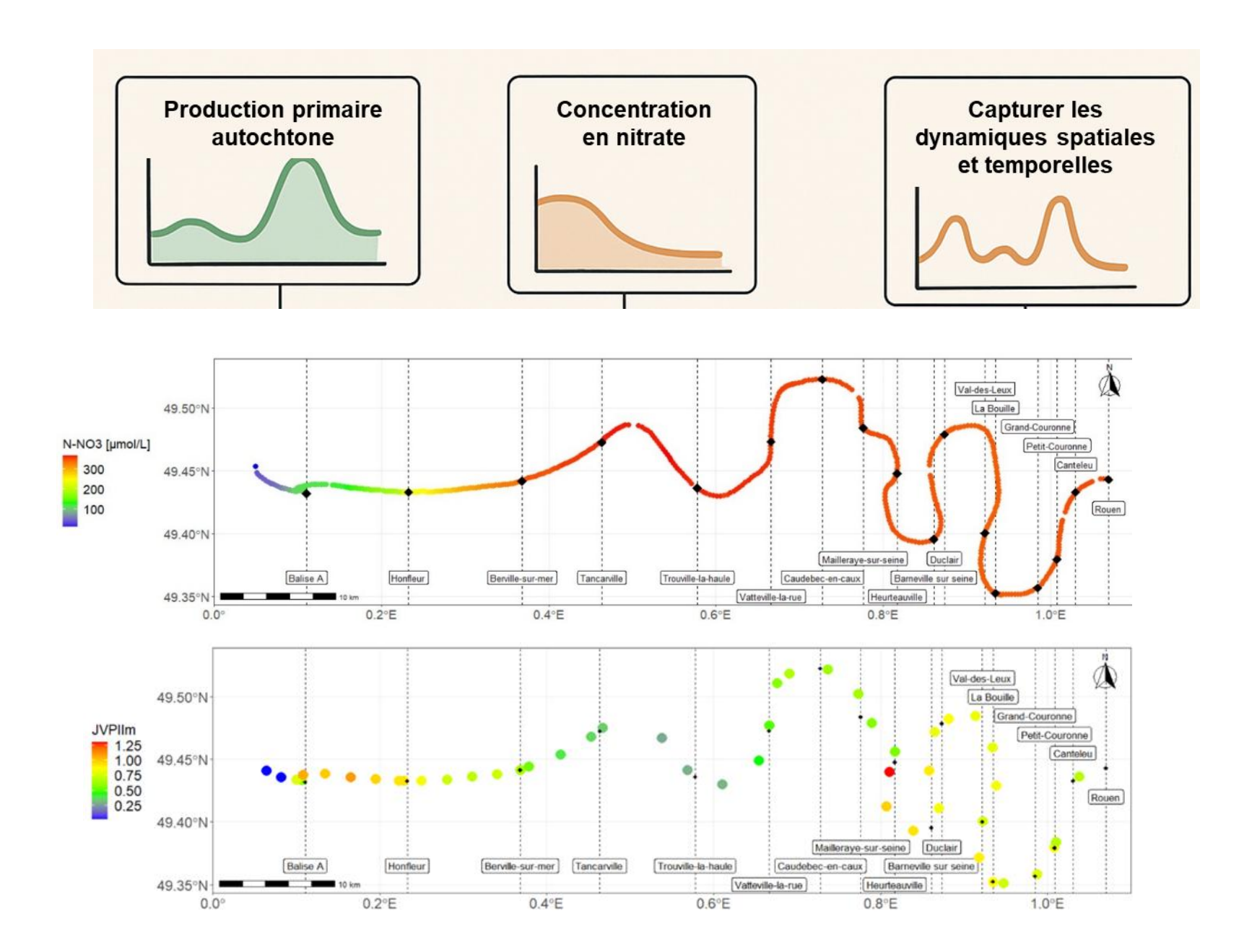




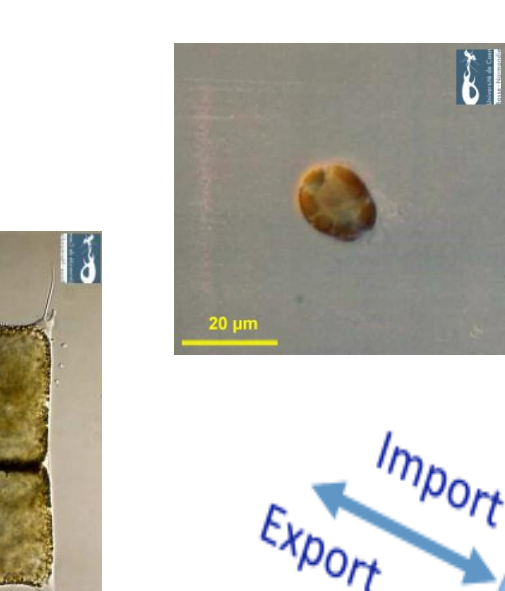






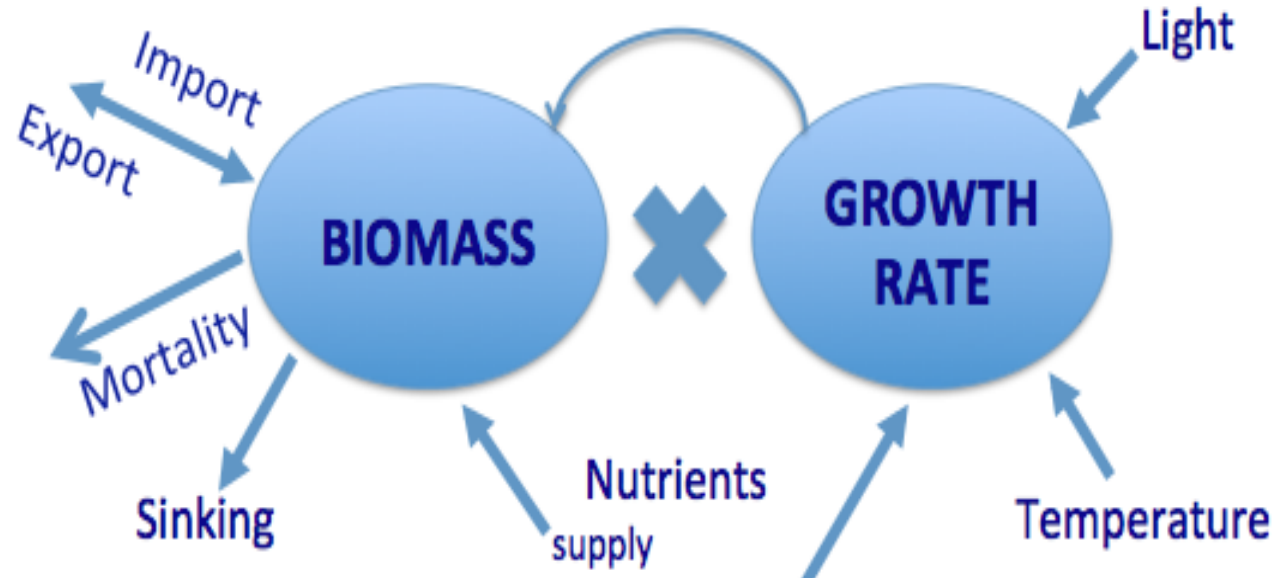








PRIMARY PRODUCTION =







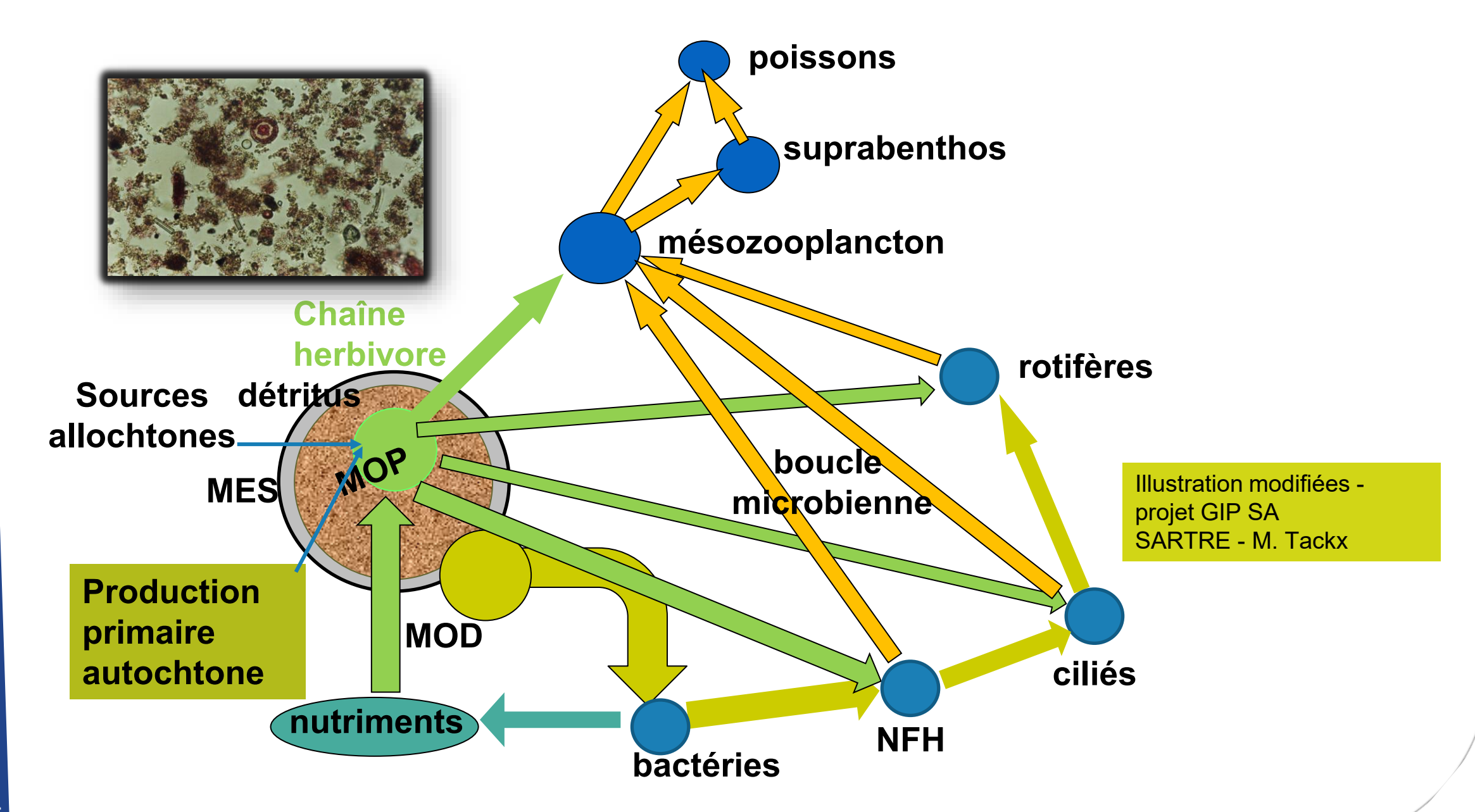


Biomasse = Stock – Image figée Production = Flux de matière, énergie

concentration



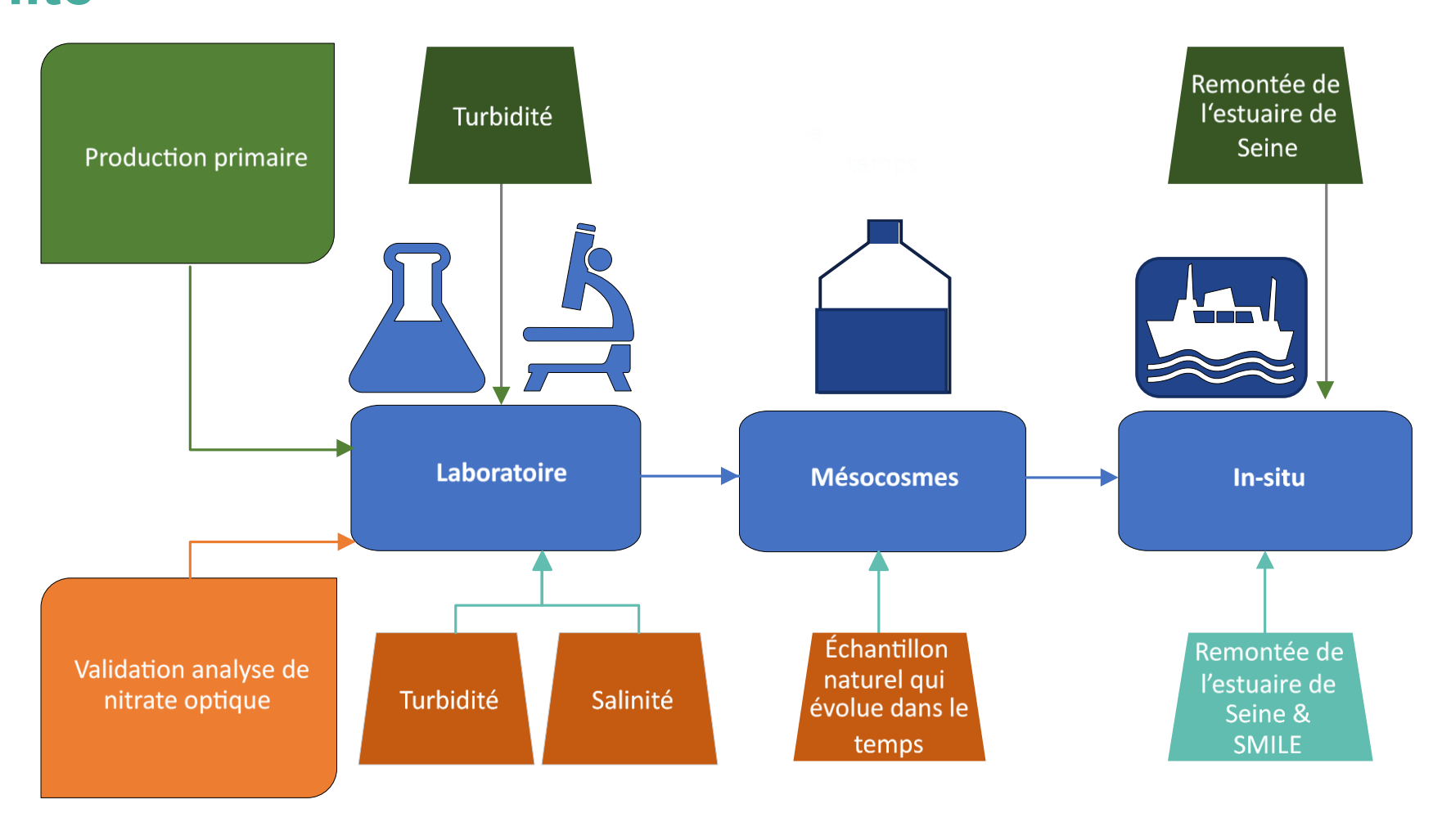
Réseau trophique de l'estuaire et flux de carbone





Approches mises en place:

Capteurs optiques = sensibles à la turbidité et potentiellement à la salinité





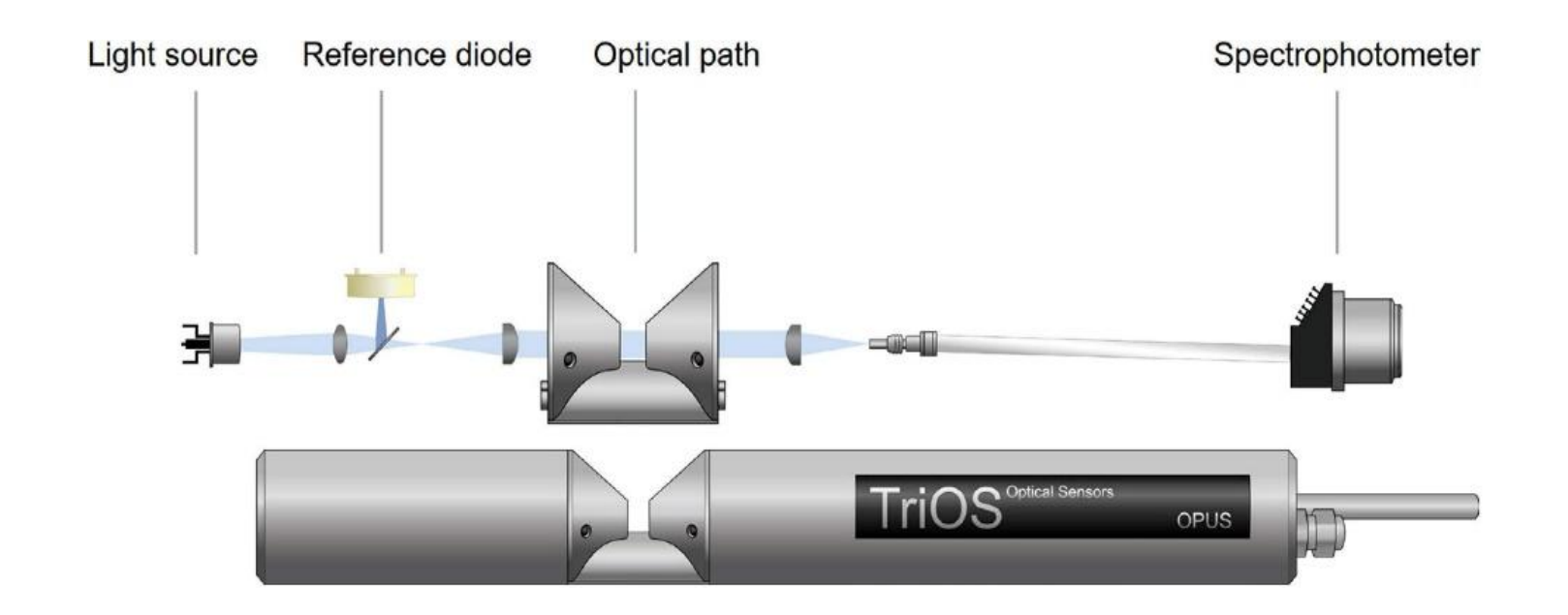




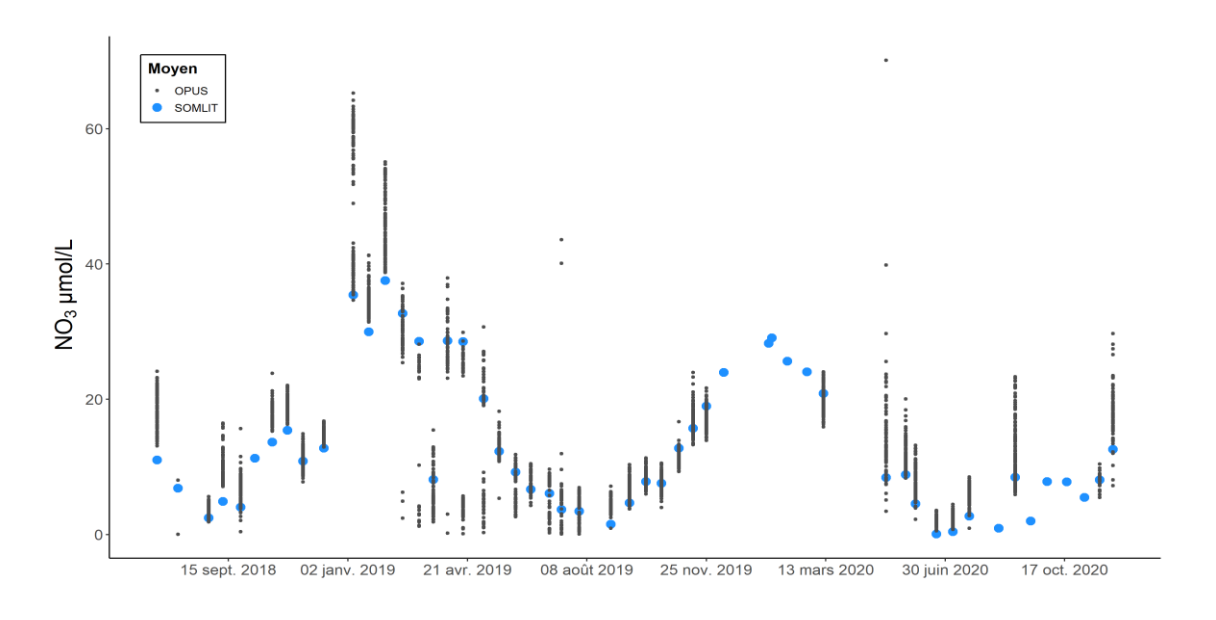
Capteurs Optiques de Nitrates

TRIOS - OPUS

2 OPUS SALT (SMILE) 1 OPUS FRESH (PRESQUES) 1 OPUS BRACK (PHRESQUES)

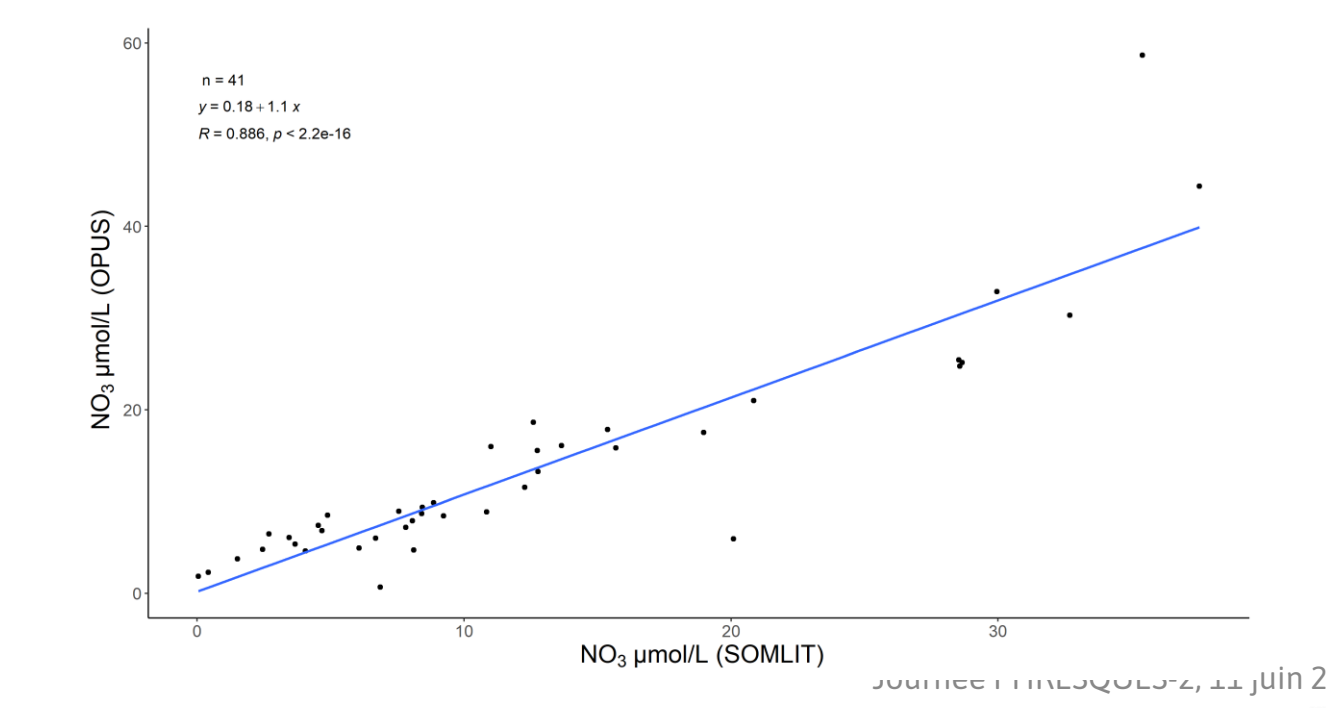








Utilisation de ce capteur depuis 2018 sur SMILE





Expérimentation en laboratoire



TRIOS - OPUS

Gamme de concentration de nitrates (0, 2, 5, 10, 25, 50, 100, 250, 500, 700 et 750 µmol.L⁻¹) dans six conditions différentes.

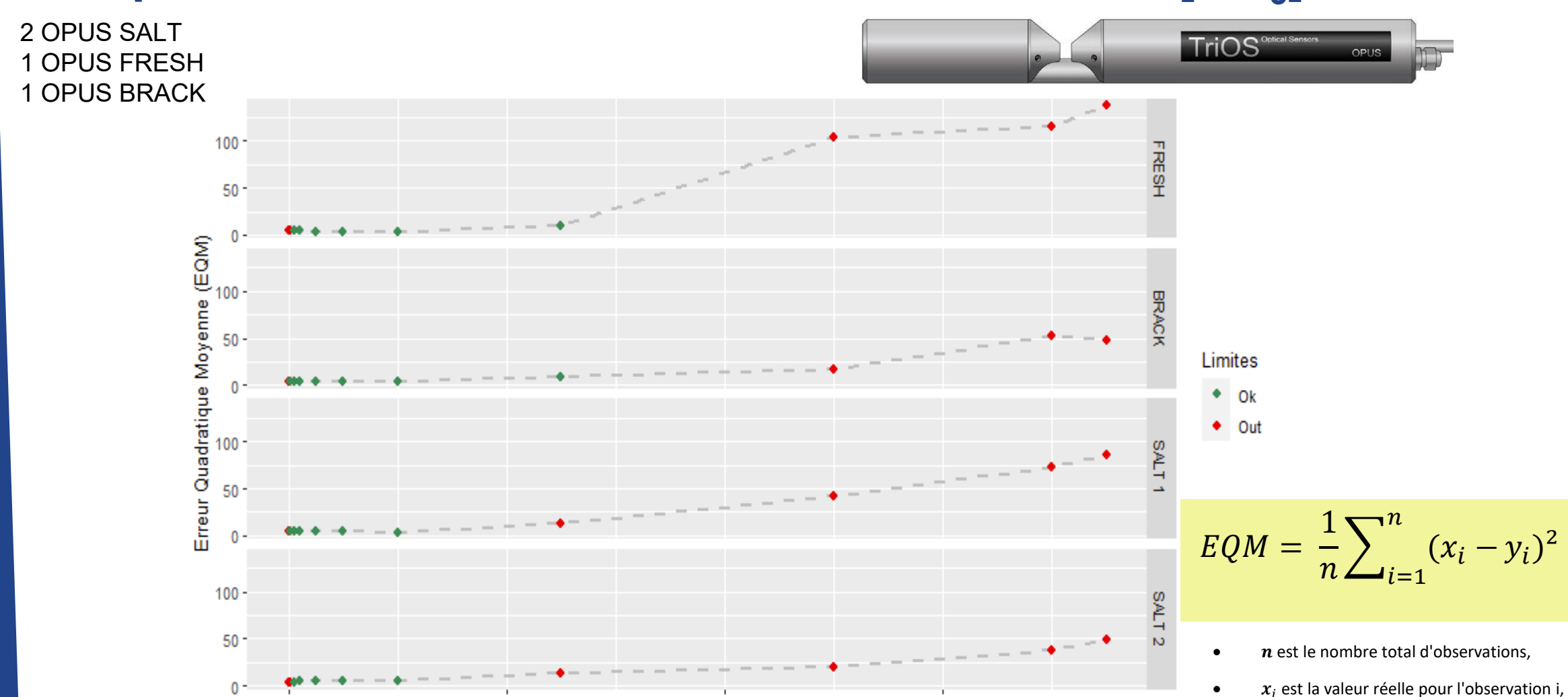
-Gamme de nitrate appliquée avec différentes concentrations de MES : 0.1, 0.25 et 0.5 g.L-1 et une salinité de zéro (MES composé d'Argile Verte à 100%).

-Gamme de nitrate appliquée avec une salinité différentes de 5 et de 10 g.L-1 et une turbidité de zéro .

Calcul de l'erreur l'Erreur Quadratique Moyenne (EQMm) et de l'EQMm normalisée



Comportement des différents OPUS en fonction [NO₃]





Erreur Quadratique Moyenne (EQM), calcule la moyenne des carrés des erreurs, c'est-à-dire la différence entre les valeurs prédites par le modèle et les valeurs réelles.

Concentration de NO3 en µmol.L

600

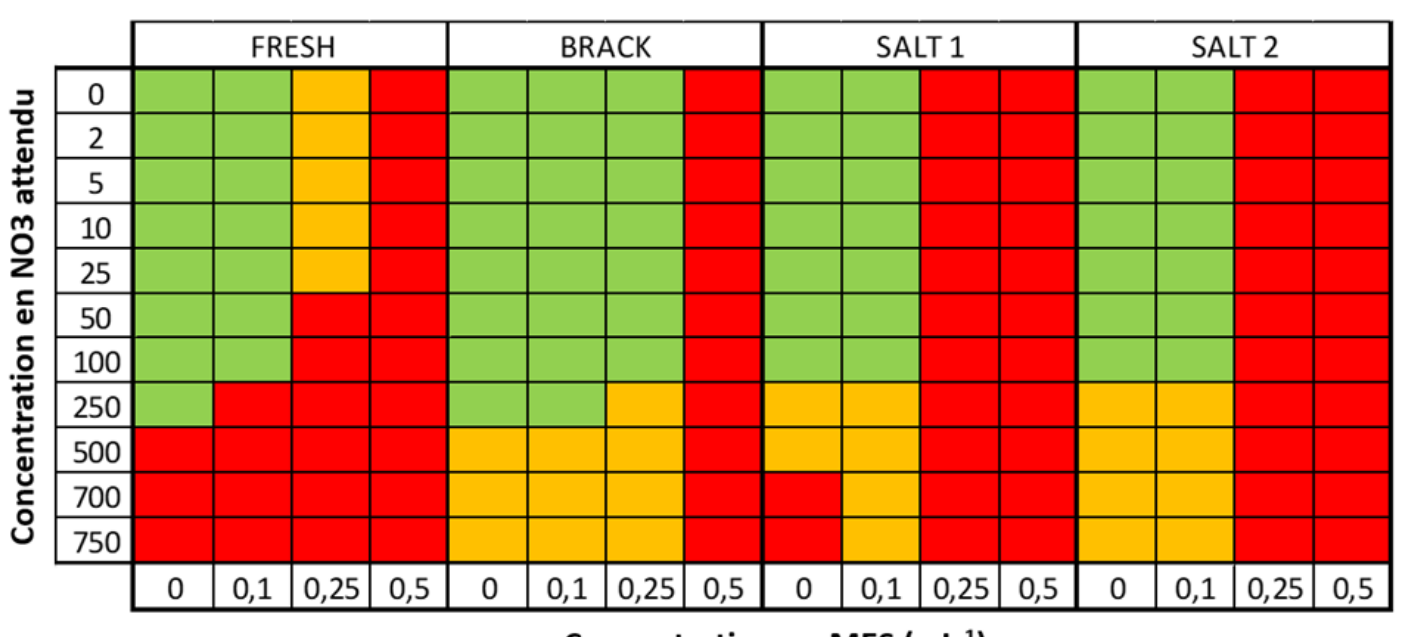
200

 y_i est la valeur prédite pour l'observation i.

Comportement des différents OPUS en fonction [NO₃] et [MES]

2 OPUS SALT 1 OPUS FRESH 1 OPUS BRACK





EQM normalisé

$$EQMn = EQM \cdot \frac{100}{y_i}$$

Concentration en MES (g.L-1)

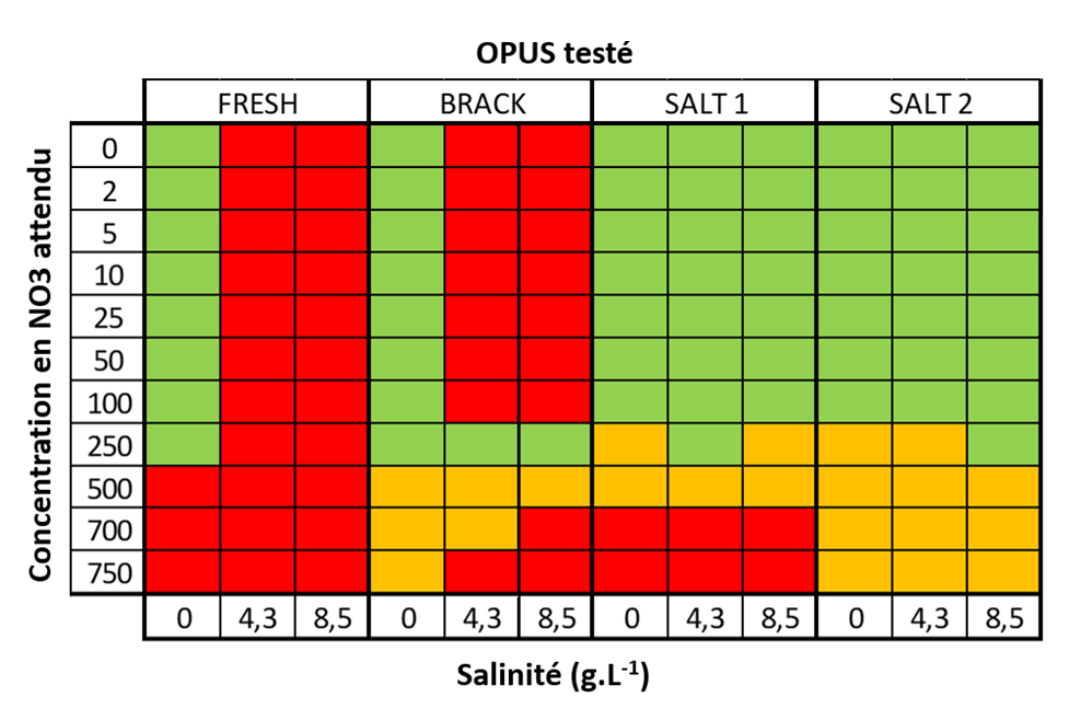
Résumé de la qualification des données issus des OPUS testés dans différentes conditions de concentrations en MES. $\boxed{}$ = Juste (EQM < 10 μ mol. L^1) et précis (si >100 μ mol. L^1 -> EQMn <10 %), $\boxed{}$ = Pas Juste (EQM > 10 μ mol. L^{-1}) mais précis (EQMn < 10 %), $\boxed{}$ = Ni juste (EQM > 10 μ mol. L^{-1}), ni précis. (EQMn > 10 %))



Comportement des différents OPUS en fonction [NO₃] et Salinité

2 OPUS SALT 1 OPUS FRESH 1 OPUS BRACK

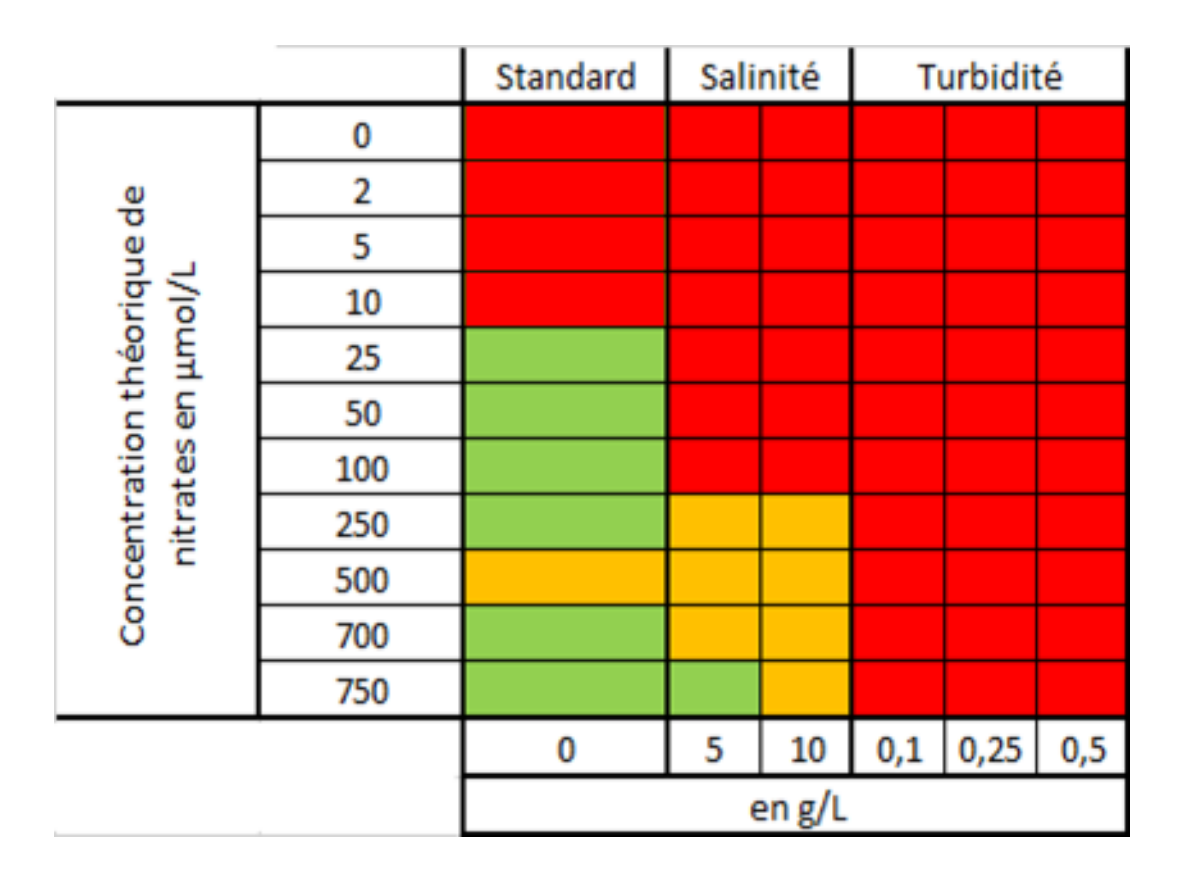




Résumé de la qualification des données issus des OPUS testés dans différentes conditions de concentrations en MES. $\boxed{}$ = Juste (EQM < 10 μ mol. L^1) et précis (si >100 μ mol. L^1 -> EQMn <10 %), $\boxed{}$ = Pas Juste (EQM > 10 μ mol. L^{-1}) mais précis (EQMn < 10 %), $\boxed{}$ = Ni juste (EQM > 10 μ mol. L^{-1}), ni précis. (EQMn > 10 %))



Capteur Nitraled – sonde YSI (SYNAPSES)



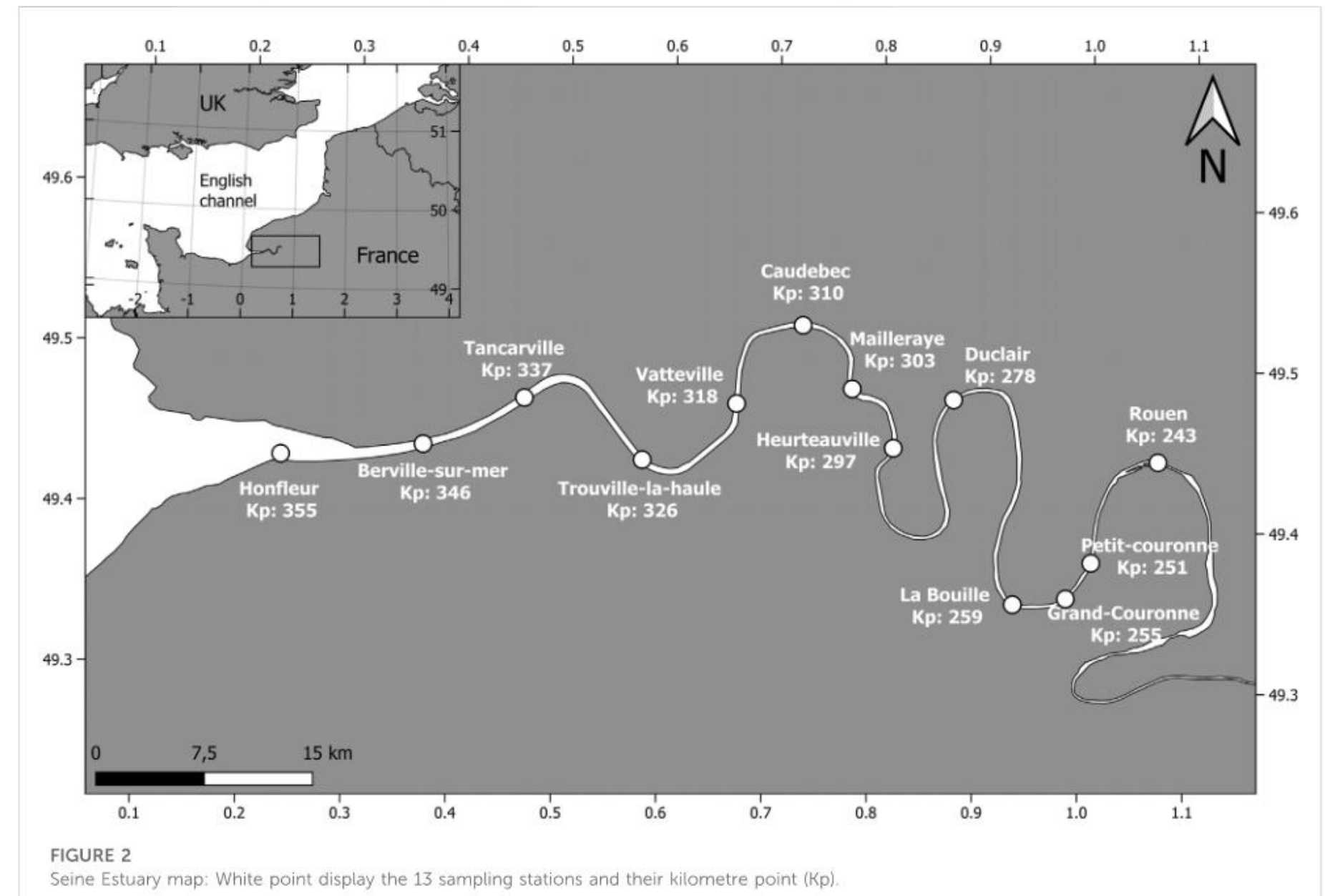


Résumé de la qualification des données issus du capteur YSI Nitraled testés dans différentes conditior de salinité. (\blacksquare = Juste (EQM < 10 μ mol. L^1) et précis (si >100 μ mol. L^1 -> EQMn <10 %), \blacksquare = Non Juste (EQM > 10 μ mol. L^1) mais précis (EQMn < 10 %), \blacksquare = Ni juste (EQM > 10 μ mol. L^1), ni précis. (EQMn > 10 %))



In Situ







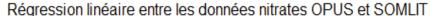
n 2025

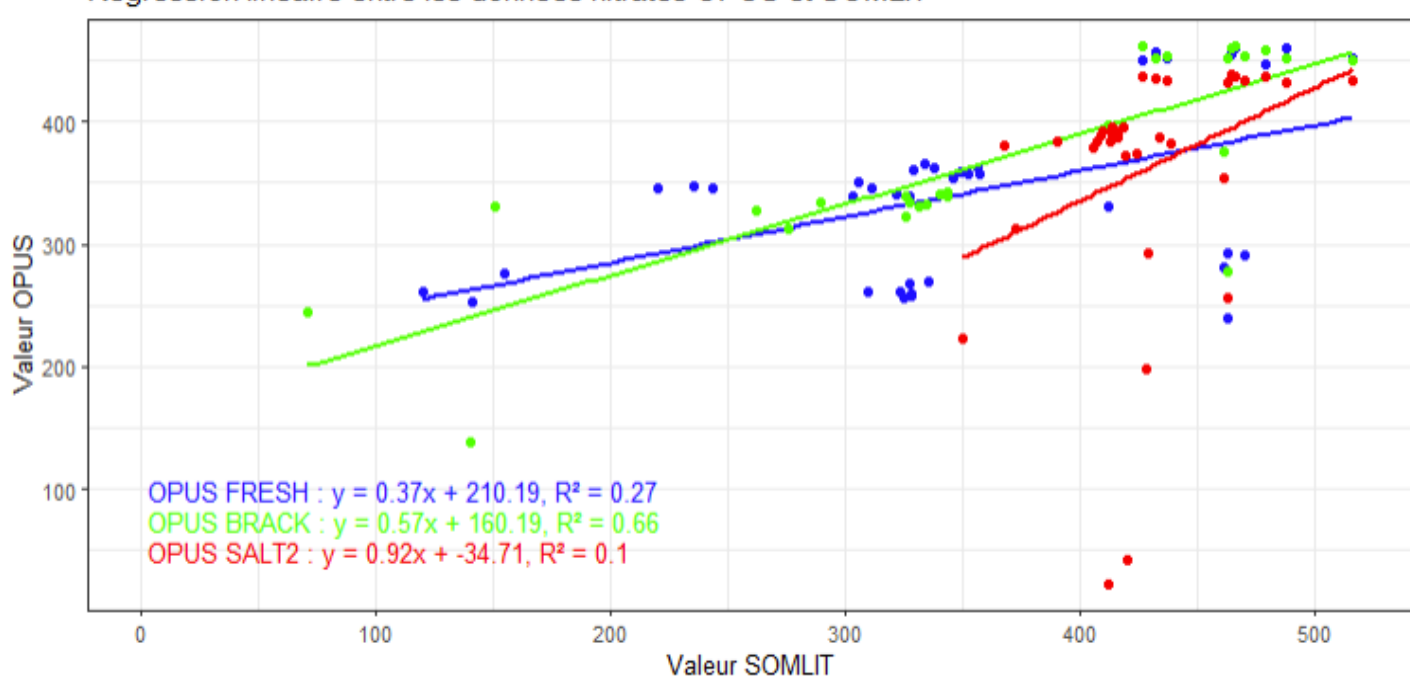
In Situ

1 OPUS SALT 1 OPUS FRESH 1 OPUS BRACK

> Remontée de l'estuaire de Seine: Comparaison des concentrations en nitrates mesurées en laboratoire (points noirs) avec les données OPUS de 2021 (points de couleurs). Les données OPUS correspondent à la moyenne des données 5 min avant et 5 min après le prélèvement. Les concentrations de nitrates sont exprimées en µmol.L-1. Bleu OPUS FRESH trajet optique de 20mm; vert OPUS BRACKISH trajet optique de 20mm; rouge OPUS SALT 2 trajet optique de 10mm



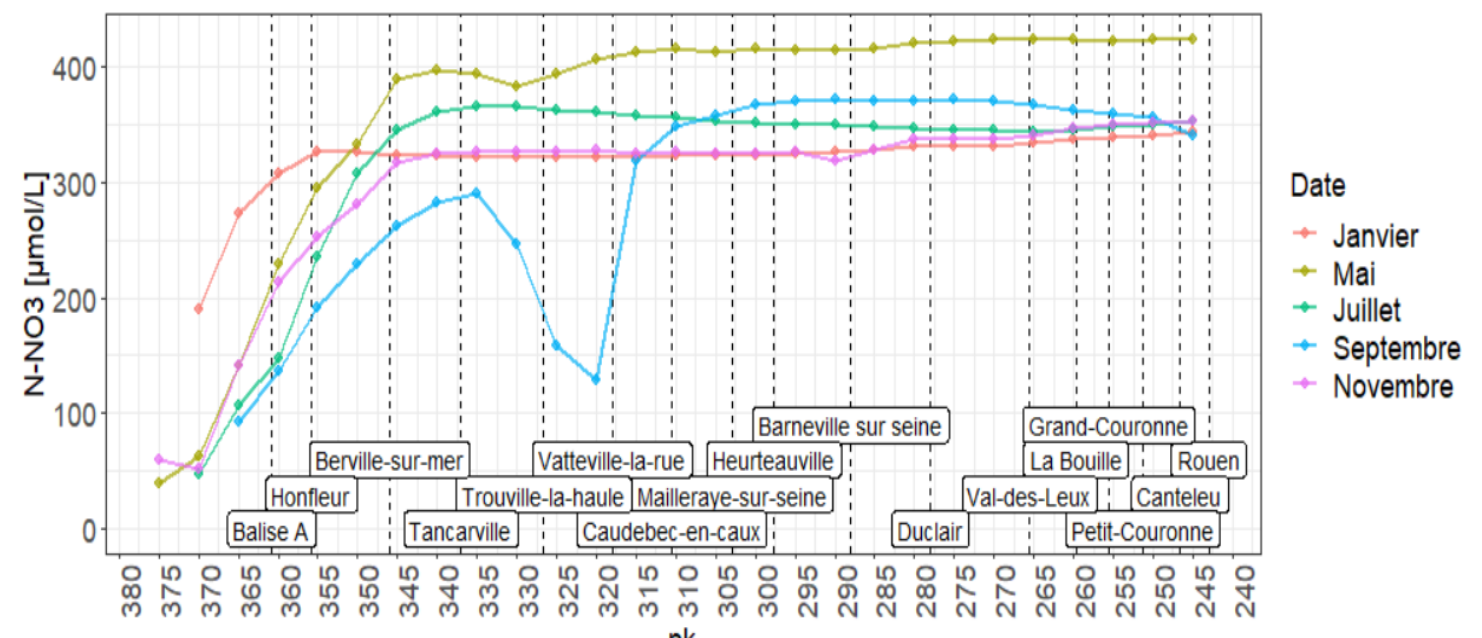




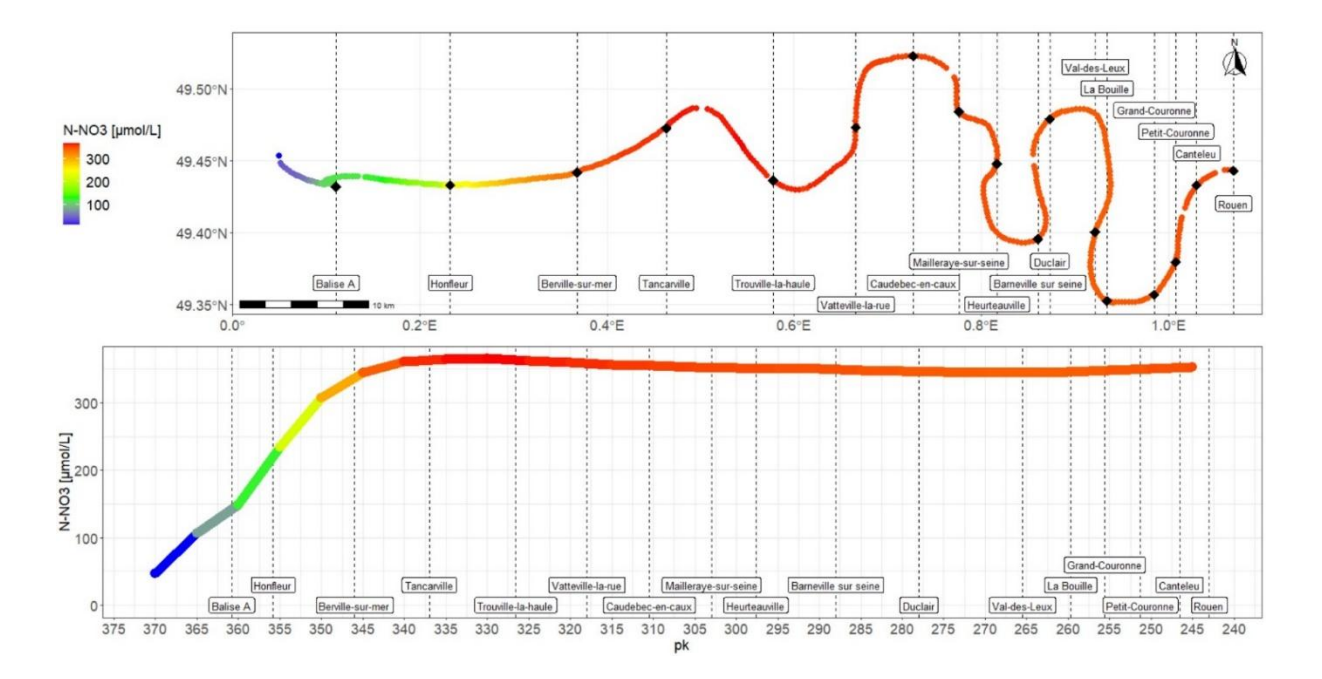
Le capteur FRESH est fortement perturbé par la salinité (faible R² observé).

Le BRACK présente une corrélation correcte pour des données in situ qui sont plus bruitées que les données en laboratoire. Cependant, les fortes turbidités au niveau de la ZTM affectent les mesures, Pour obtenir de meilleures mesures au niveau de la ZTM, il serait nécessaire de réduire ce trajet optique.





Valeurs N-NO₃ en μmol.L⁻¹ obtenu avec l'OPUS BRACK en fonction des saisons pour les remontées de l'année 2022



Valeurs de N-NO $_3$ en μ mol.L $^{-1}$ issu de l'OPUS BRACK reportés le long de la Seine pour la remontée du 28 juillet 2022 en fonction de la position GPS (WGS 84)



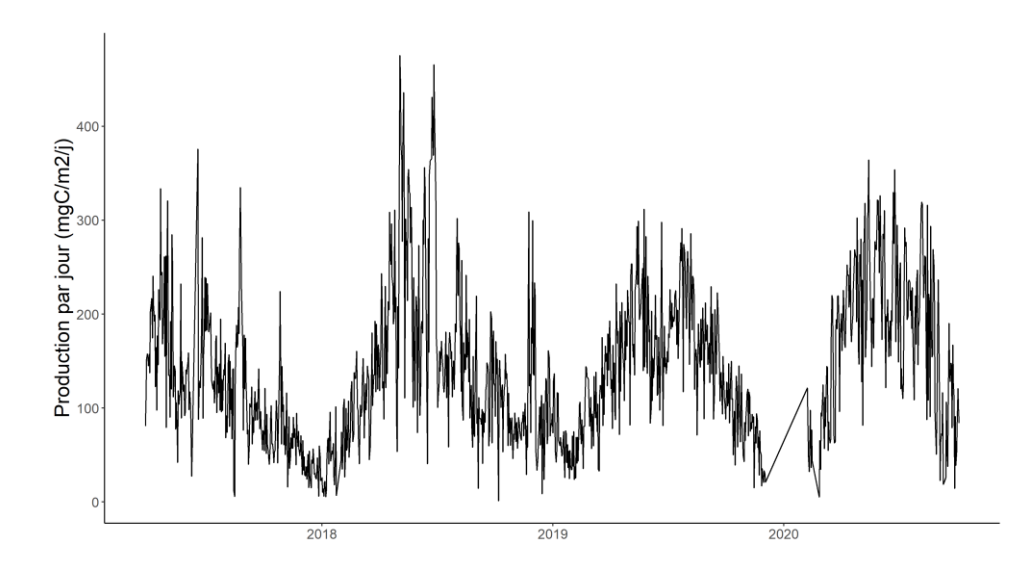
Recommandations

- NITRALED YSI à utiliser uniquement en eau douce
- OPUS est adapté à l'ensemble de l'estuaire, y compris la partie aval. Il peut être installé sur une station fixe ou utilisé lors de campagnes récurrentes
- Nécessité de travailler sur l'encrassement (si station fixe)
- Ajuster le trajet optique en fonction de la turbidité (position dans l'estuaire aval)
- Permettrait de mieux estimer les apports de NO₃ dans la Baie de Seine

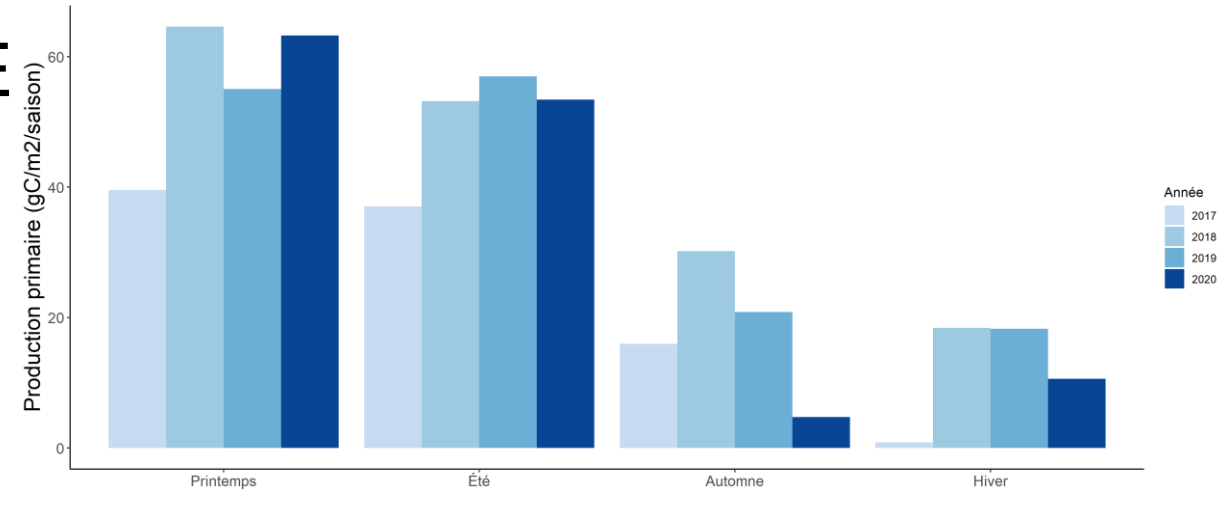


Capteur de Productivité Primaire Par Fluorescence Variable





Expérience sur la bouée SMILE d'un FRRF – Estimation pluriannuelle de la production primaire en baie de Seine





Capteur de Productivité Primaire Par Fluorescence Variable

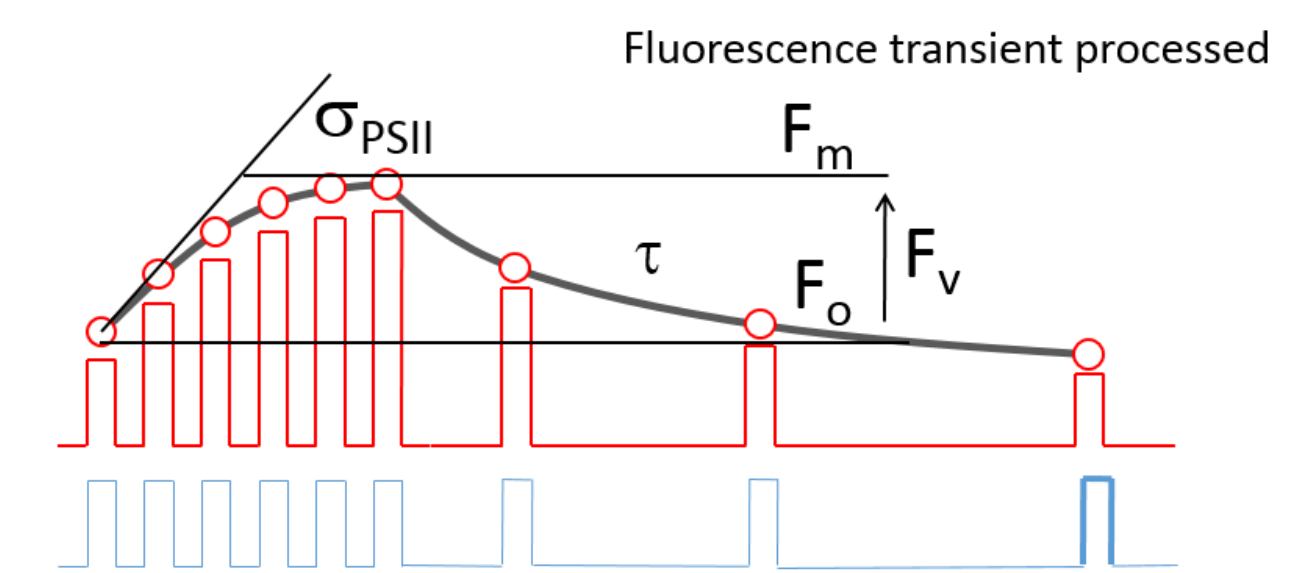
LABSTAF

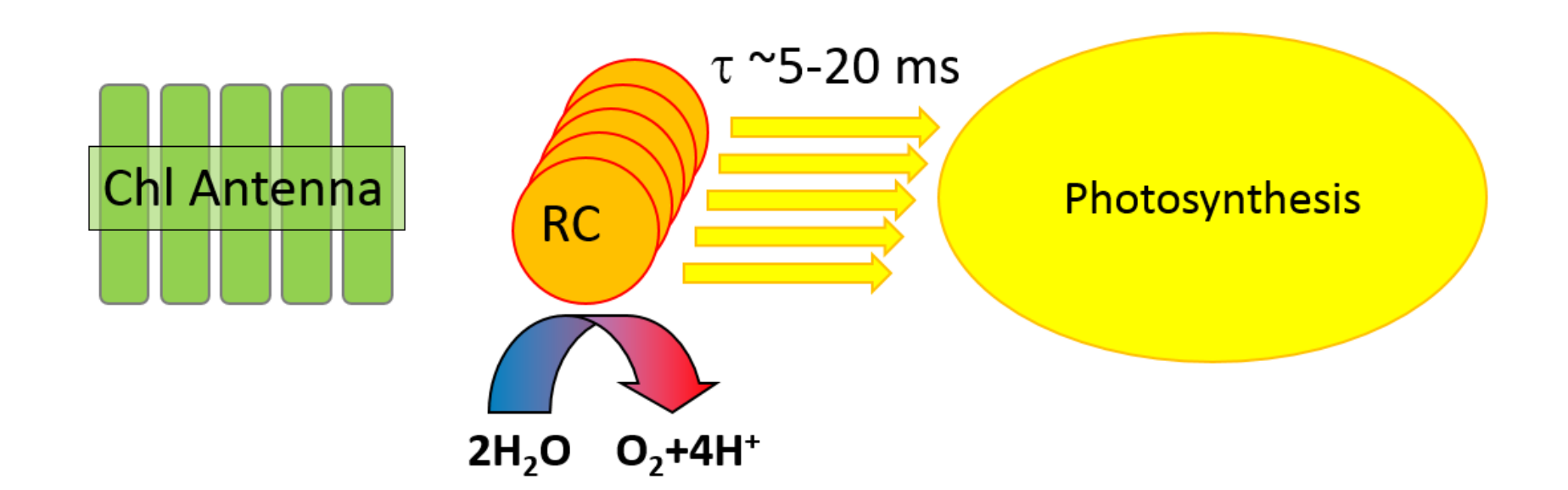
FRRF



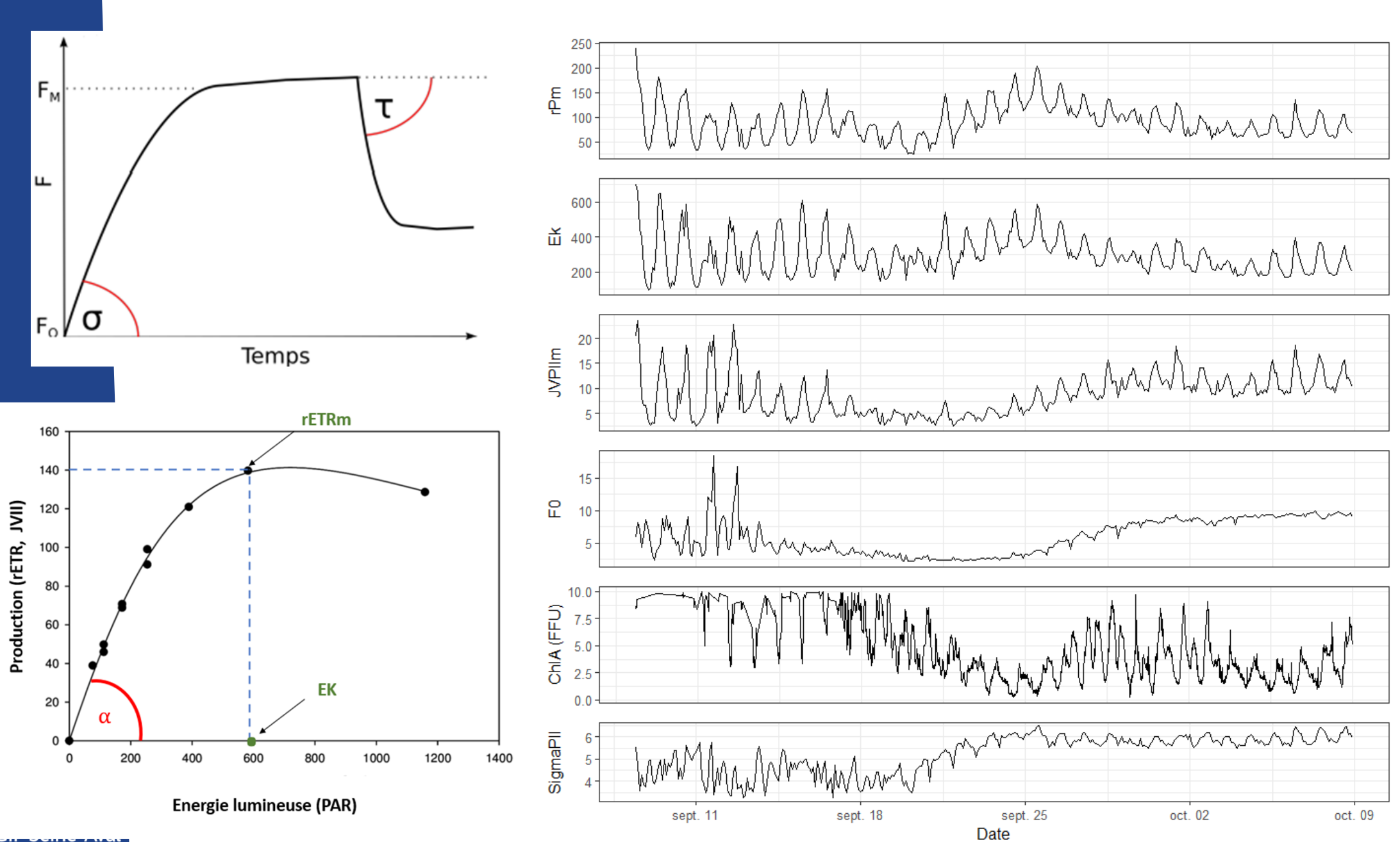


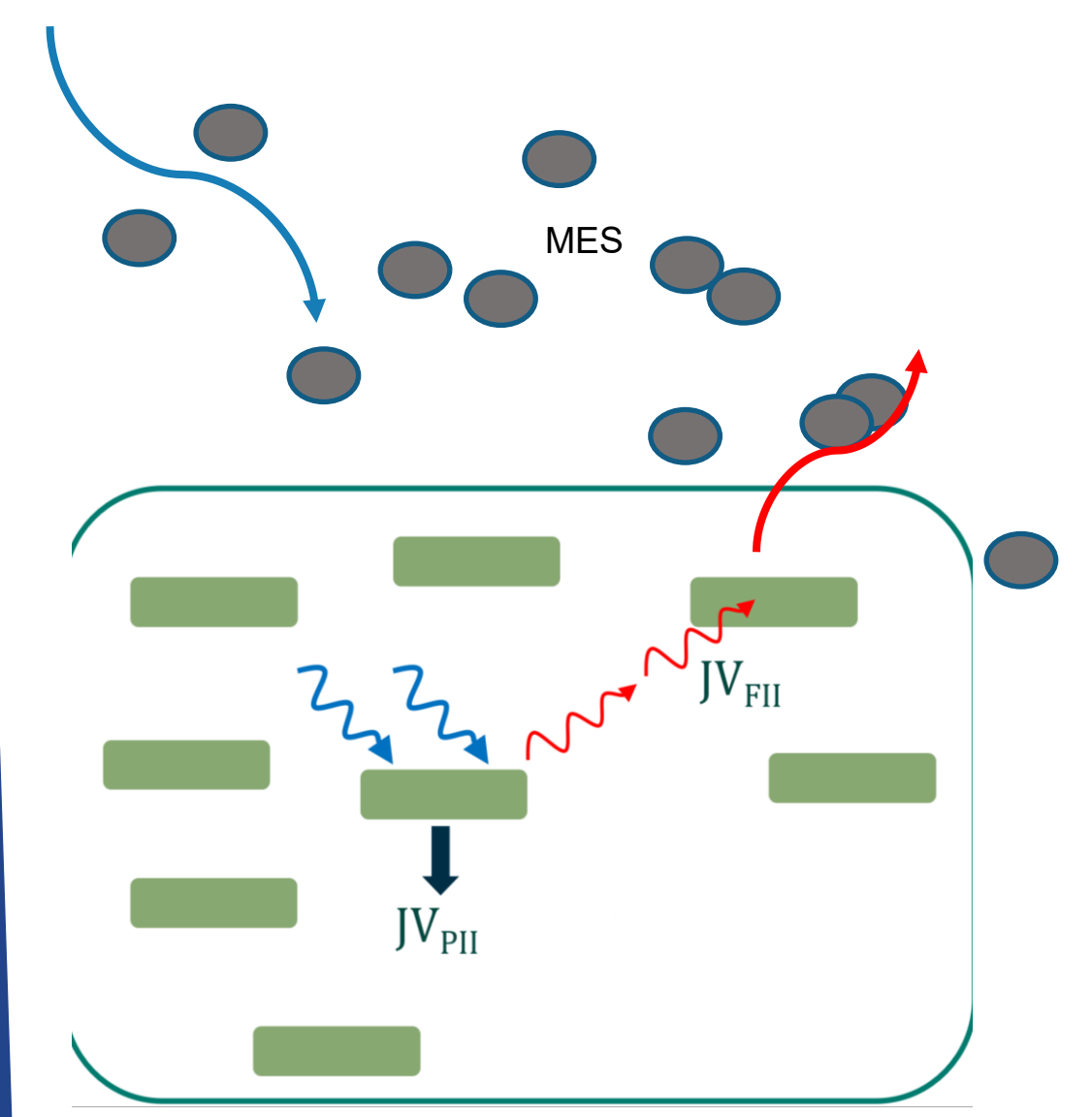


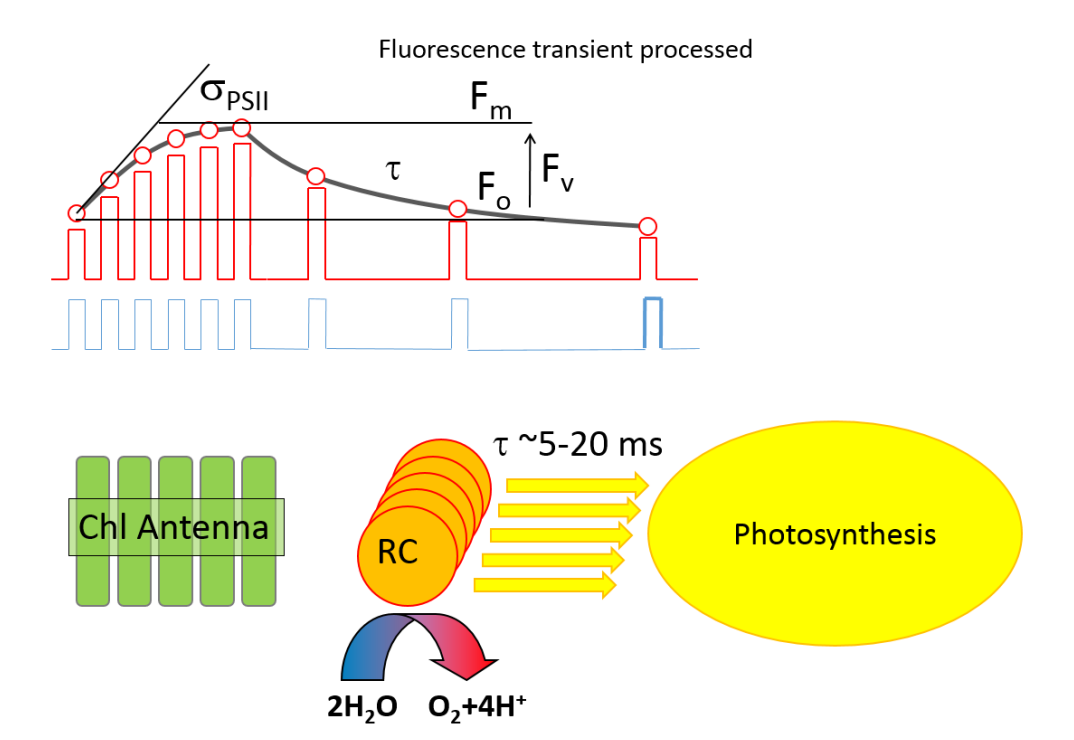










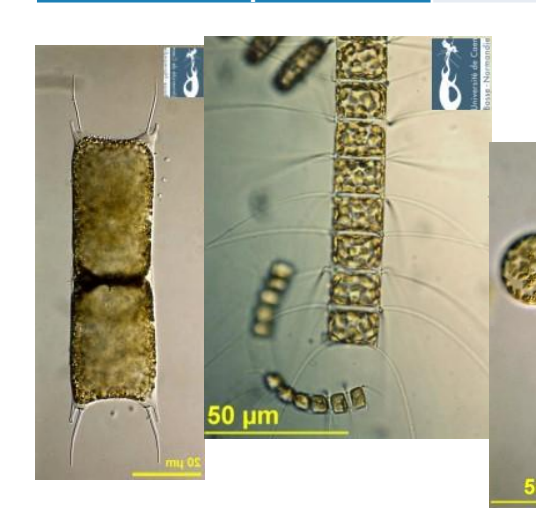


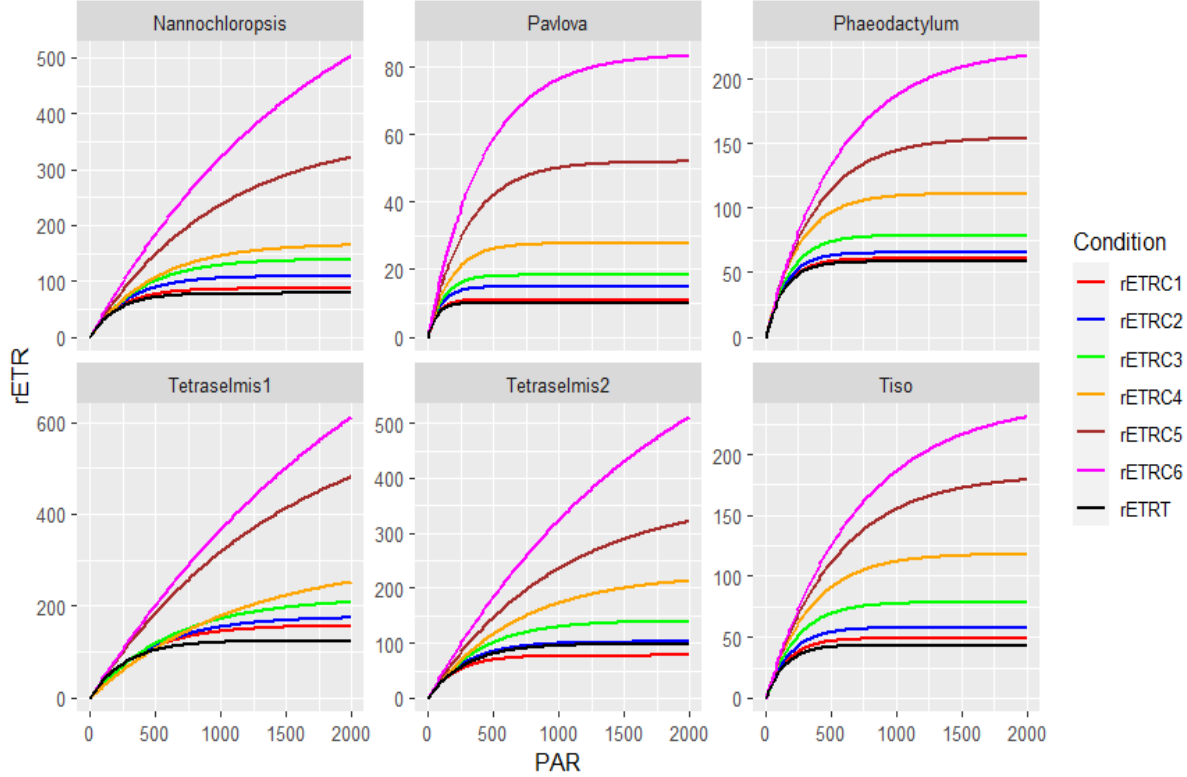
Impact de la turbidité sur les mesures



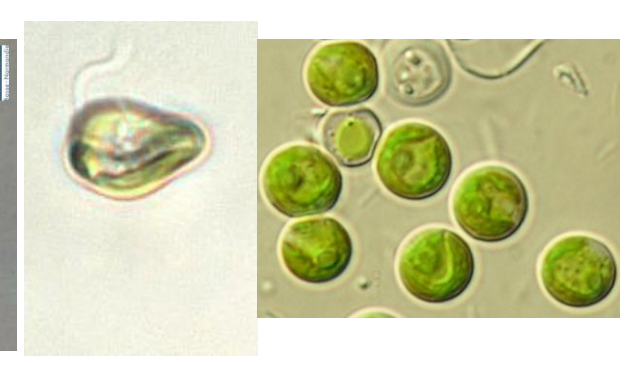
Approche en laboratoire

Espèce	Phylum - Classe			
Arthrospira maxima	Cyanobacteria			
Chlorella vulgaris	Chlorophyta			
Tetraselmis suecica	Chlorophyta			
Porphyridium purpureum	Rhodophyta			
Pavlova lutheri	Haptophyta			
Tisochrysis lutea	Haptophyta			
Odontella aurita	Bacillariophyceae			
	(diatomée)			
Chaetoceros calcitrans	Bacillariophyceae			
	(diatomée)			
Thalassiosira rotula.	Bacillariophyceae			
	(diatomée)			
Skeletonema marinoi	Bacillariophyceae			
	(diatomée)			
Phaeodactylum	Bacillariophyceae			
tricornutum	(diatomée)			
Nannochloropsis salina	Eustigmatophyceae			



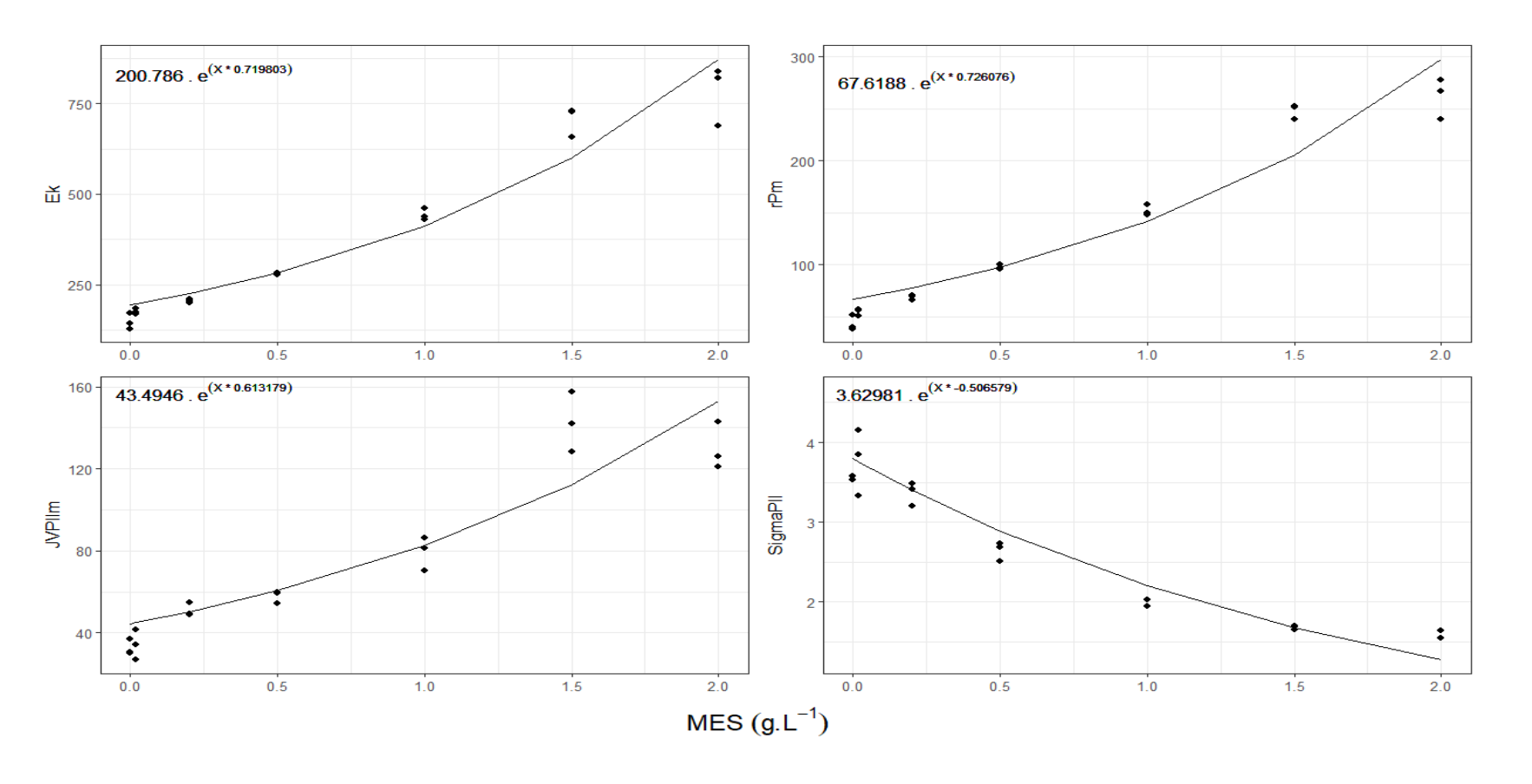


Courbe Energie Production obtenue en fonction des concentrations en MES (T = 0 g.L⁻¹, C1 = 0.02 g.L⁻¹, C2 = 0.2 g.L⁻¹, C3 = 0.5 g.L⁻¹, C4 = 1 g.L⁻¹, C5 = 1.5 g.L⁻¹, C6 = 2 g.L⁻¹





Approche en laboratoire



Evolution des paramètres photosynthétiques en fonction de la MES chez Tisochrysis lutea

$$Y_{\text{Turbidité}} = Y_{\text{Turbidité0}} e^{KT[MES]}$$
.

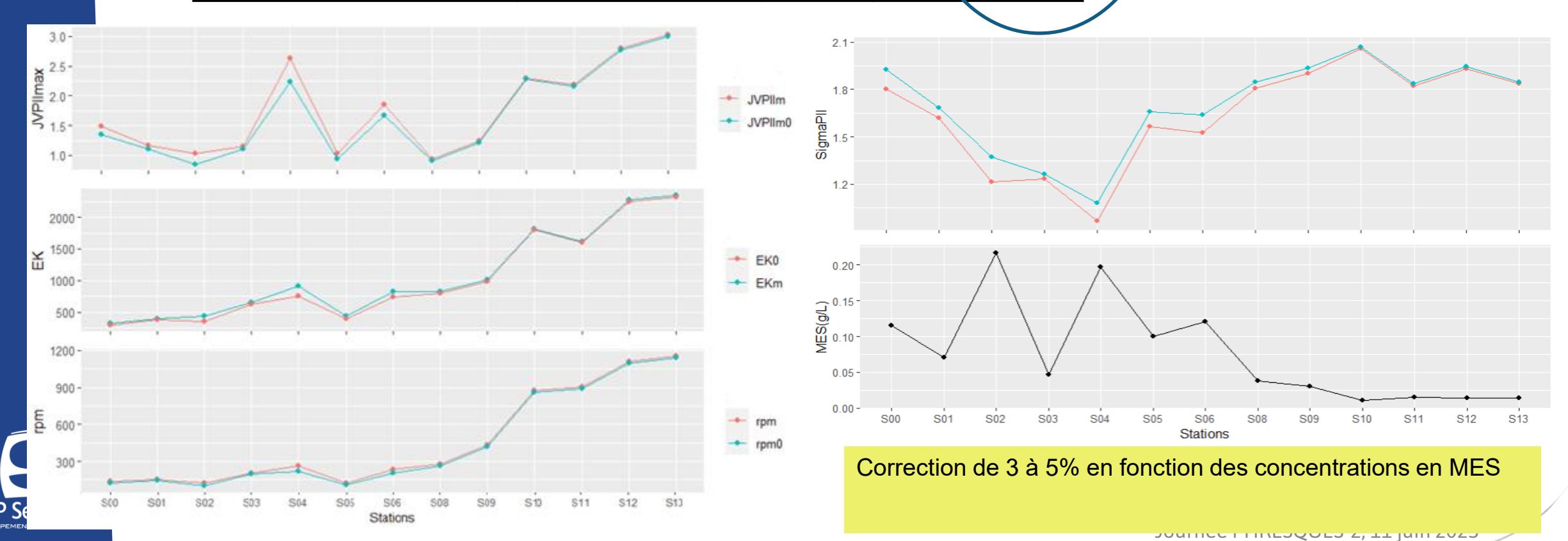
GIP Seine-Aval

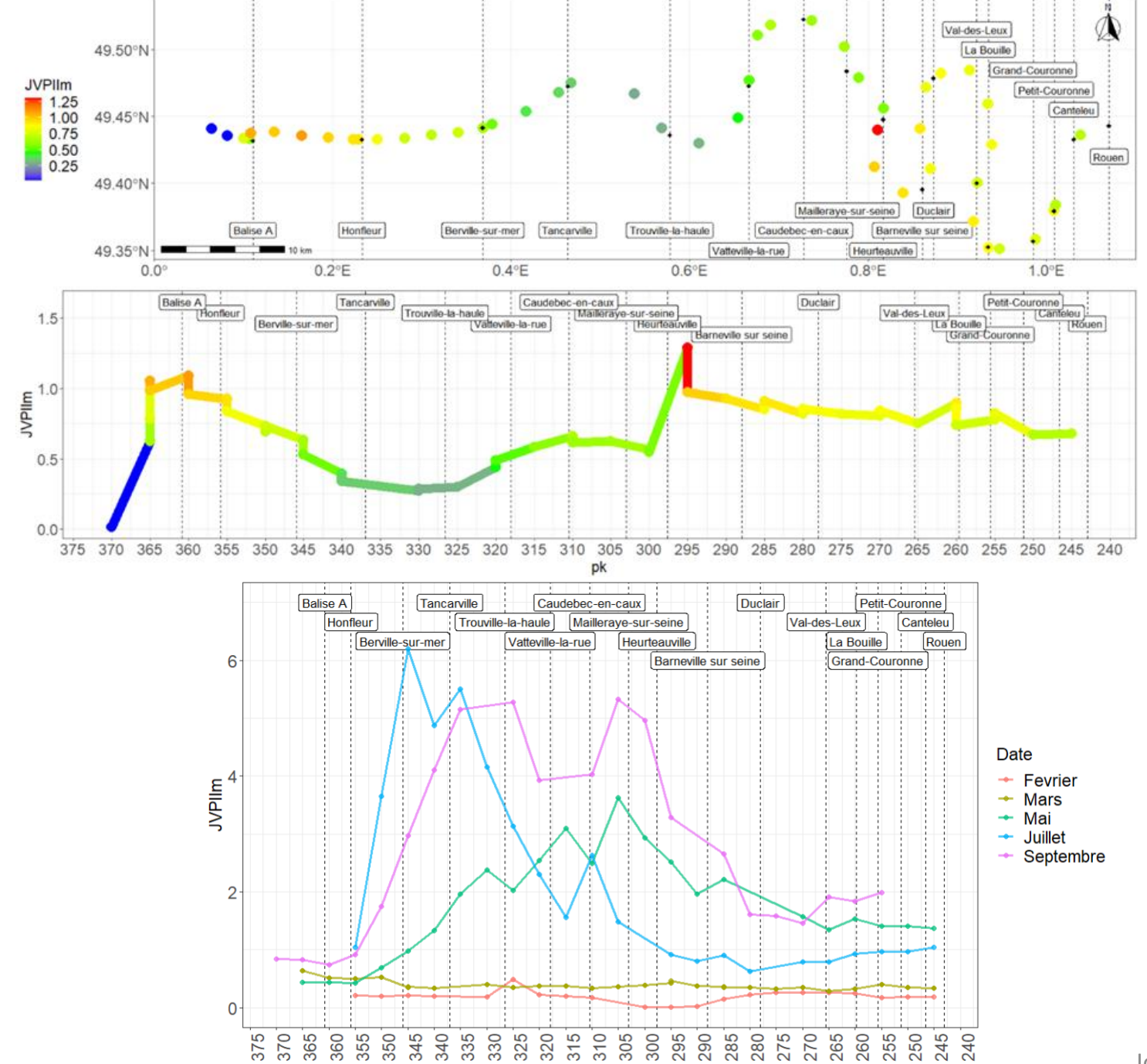
Si on connait KT est la MES on peut corriger les paramètres photosynthétiques

Approche In situ

 $Y_{\text{Turbidité}} = Y_{\text{Turbidité0}} e^{KT[MES]}$.

	Nannochloropsis	Pavlova	Phaeodactylum	Tetraselmis1	Tetraselmis2	Tisochrysis	KT moyen
Ek	1,18062	0,865918	0,773948	0,906215	1,02128	0,719803	0,911297333
JVPIIm	1,04494	0,770196	0,632973	0,942945	1,07703	0,613179	0,846877167
rPm	1,26895	1,15969	0,96852	1,09263	1,18679	0,726076	1,067109333
SigmaPII	-0,760251	-0,877111	-0,649664	-0,63	-0,692973	-0,506579	-0,686096333









OPEN ACCESS

United States

EDITED BY China University of Geosciences, China

REVIEWED BY Yuqiu Wei, Chinese Academy of Fishery Sciences (CAFS), China Rita B. Domingues University of Algarve, Portugal Miki Hondzo, University of Minnesota Twin Cities,

Pascal Claquin, pascal.claquin@unicaen.fr

RECEIVED 04 May 2023 ACCEPTED 19 June 2023 PUBLISHED 29 June 2023

Serre-Fredj L, Chasselin L, Jolly O and Claquin P (2023), Complex drivers of primary production along an anthropised estuary (Seine estuary-France) Front Environ Sci. 11:1216732 doi: 10.3389/fenvs.2023.1216732

© 2023 Serre-Fredj, Chasselin, Jolly and Claquin. This is an open-access article distributed under the terms of the (CC BY). The use, distribution or reproduction in other forums is permitted, provided the original author(s) and the copyright owner(s) are credited and that the original publication in this journal is cited, in accordance with accepted academic practice. No use, distribution or reproduction is permitted which does not comply with these terms.

Complex drivers of primary production along an anthropised estuary (Seine estuary-France)

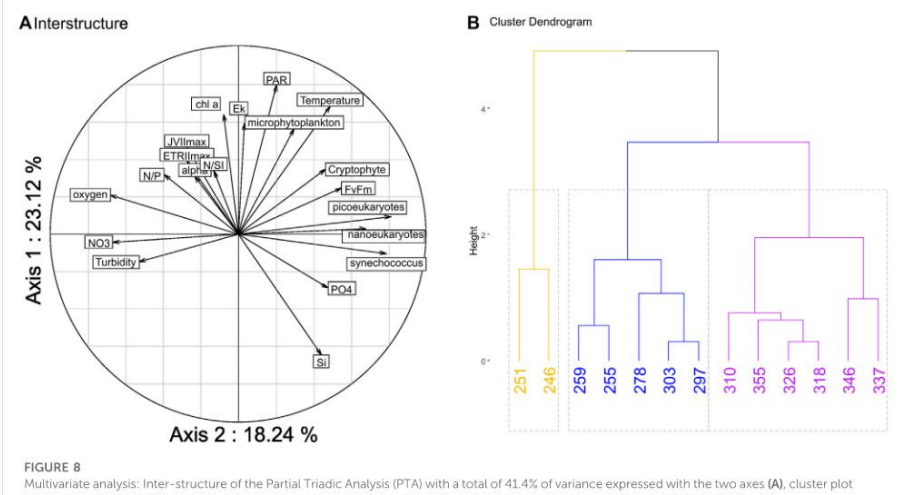
Léon Serre-Fredj^{1,2}, Léo Chasselin^{1,2}, Orianne Jolly¹ and Pascal Claquin 1.2*

¹Normandie Université, Université de Caen Normandie, Centre de Recherches en Environnement Côtier (CREC)—Station Marine, Luc-sur-Mer, France, ²Laboratoire Biologie des ORganismes et Ecosystèmes Aquatiques (BOREA, UMR CNRS 8067), Muséum National d'Histoire Naturelle, Sorbonne Université, Université de Caen Normandie, Université des Antilles, CREC-Station Marine, Luc-sur-Mer, France

The Seine estuary is a typical model of a system in which phosphorus (P) inputs have been considerably reduced to reduce past eutrophication, with a parallel decrease in phytoplankton biomass. However, reducing P alone while concentrations of nitrate (N) remains high led to a dystrophic nutrient balance in the estuary (high N/P and N/Si). To identify the drivers of primary production and phytoplankton communities in the highly anthropised Seine estuary, sampling was performed along a 110-km stretch over a period of 3 years. Photosynthetic parameters were measured with a single turnover active fluorimeter and the phytoplankton community was assessed using a fluoroprobe and flow cytometry. The results revealed an annual primary production of 33 g C.m⁻².y⁻¹ which was largely controlled by light availability (turbidity) but also by nutrients in late spring and summer period. Massive blooms, not seen since 2002, were observed in a specific area of the estuary. None of the nutrients measured explained the particular location of the blooms but phytoplankton production and productivity indicators were higher in this specific zone excluding a biomass accumulation phenomenon. The local effect of tide slowdown increasing water residence time in this exact part of the estuary could explain the bloom area. The question thus arises: does phosphate play a role as a limiting nutrient? The diatom bloom led to total depletion of Si, but no clear limitation of P was observed. Nevertheless, the decrease in Si appears to have played a key role by triggering a succession from diatoms (microphytoplankton) to chlorophytes (nanophytoplankton) and hence affecting phytoplankton composition. The N/P balance appeared to be more important than the absolute concentration of P to explain the phytoplankton dynamics and the biomass decrease observed the last decades.

KEYWORDS

flow cytometry, variable fluorimetry, phytoplankton communities, multispectral fluorimetry, eutrophication





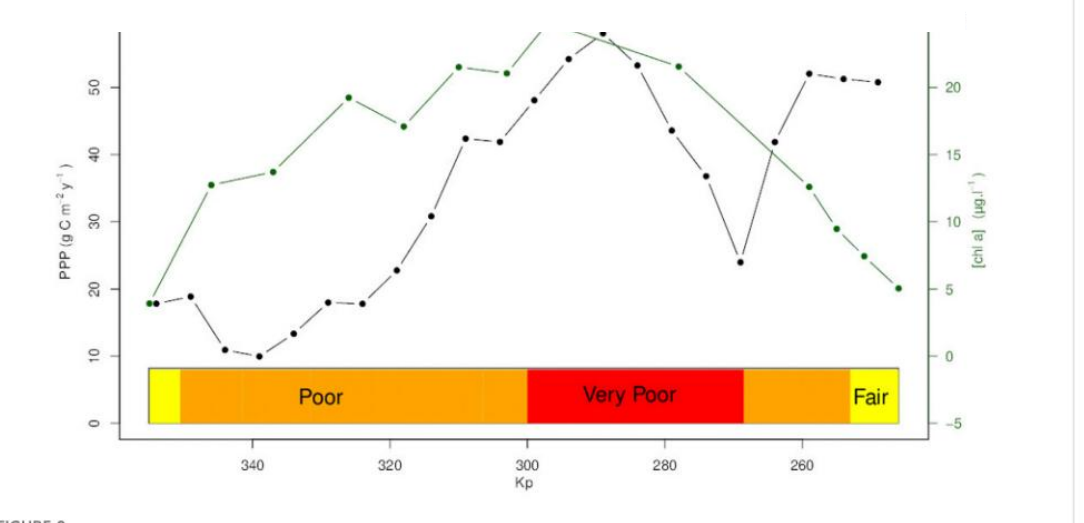
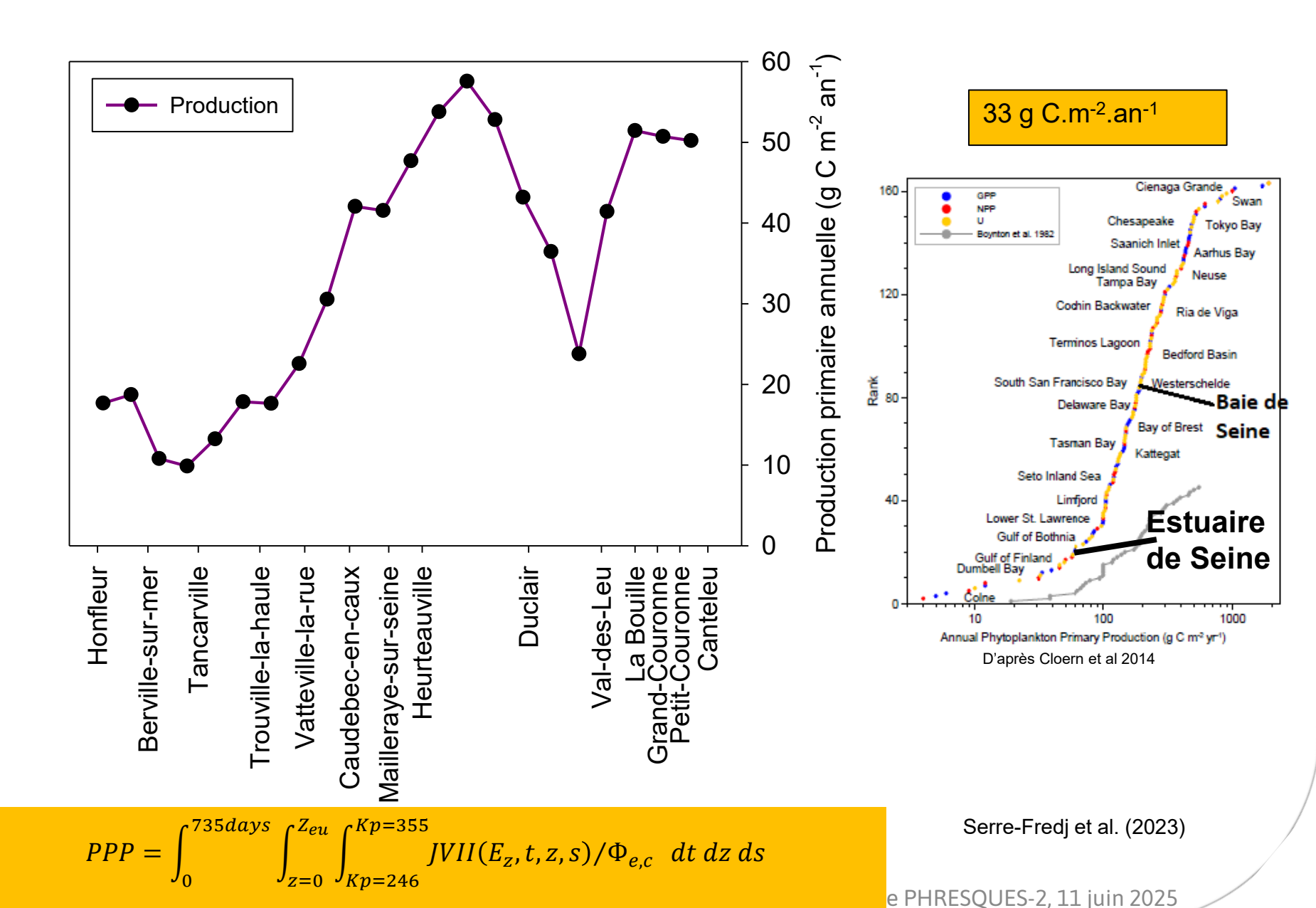


FIGURE 9 Annual Phytoplankton Primary Production (PPP) (g C m⁻² y⁻¹). estimated along the Seine estuary Kp (kilometre point) (black dot line). Mean value of chl a concentration (µg,L-1) by Kp (green line/dot). The colored boxes at the bottom displayed the WFD phytoplankton biomass classification (yellow = fair, orange = poor, red = very poor).



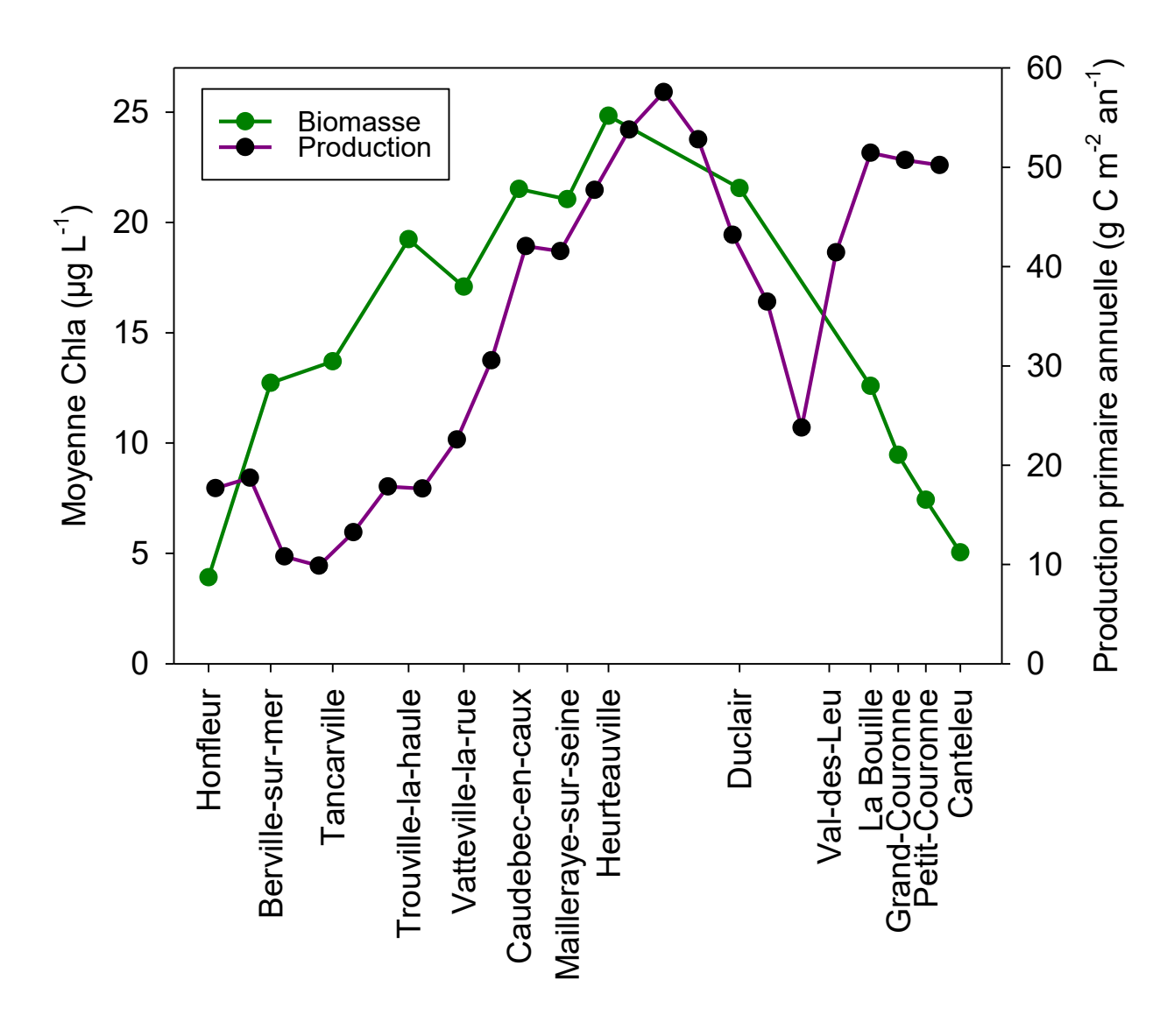
Frontiers in Environmental Science frontiersin.org

Estimation de la production primaire annuelle (g C m⁻² an⁻¹)



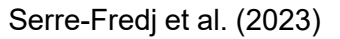


Estimation de la production primaire annuelle (g C m⁻² an⁻¹) et de la biomasse moyenne



Baisse de la production entre La Bouille et Duclair

Découplage de la production et de la biomasse à l'amont





Recommandations

- Le LABSTAF est recommandé pour les campagnes de remontée de la Seine et peut être programmé pour fonctionner de manière autonome. Un contrôle régulier de la chambre de mesure est nécessaire pour éviter l'accumulation de sédiments.
- Un LABSTAF est déployé sur SMILE, mais un déploiement sur une station fixe dans l'estuaire serait limité en raison des fortes concentrations en MES (matières en suspension), provoquant un encrassement trop rapide du capteur.
- Eventuellement à Poses...
- Application des facteurs de correction : Appliquer le facteur de correction pour homogénéiser les mesures des paramètres photosynthétiques de l'amont à l'aval de l'estuaire. Une nouvelle série de calibration des données LABSTAF versus ¹³C serait à réaliser de l'amont à l'aval.

